

ANEXO IV

Praias da Costa Atlântica de Salvador

Diagrama de Refração das Ondas de Sul-Sudeste (N157°)

Correntes de Retorno Associadas e o Grau de Risco Potencial (GRPo) das Praias (condições mais freqüentes entre o outono e o inverno)

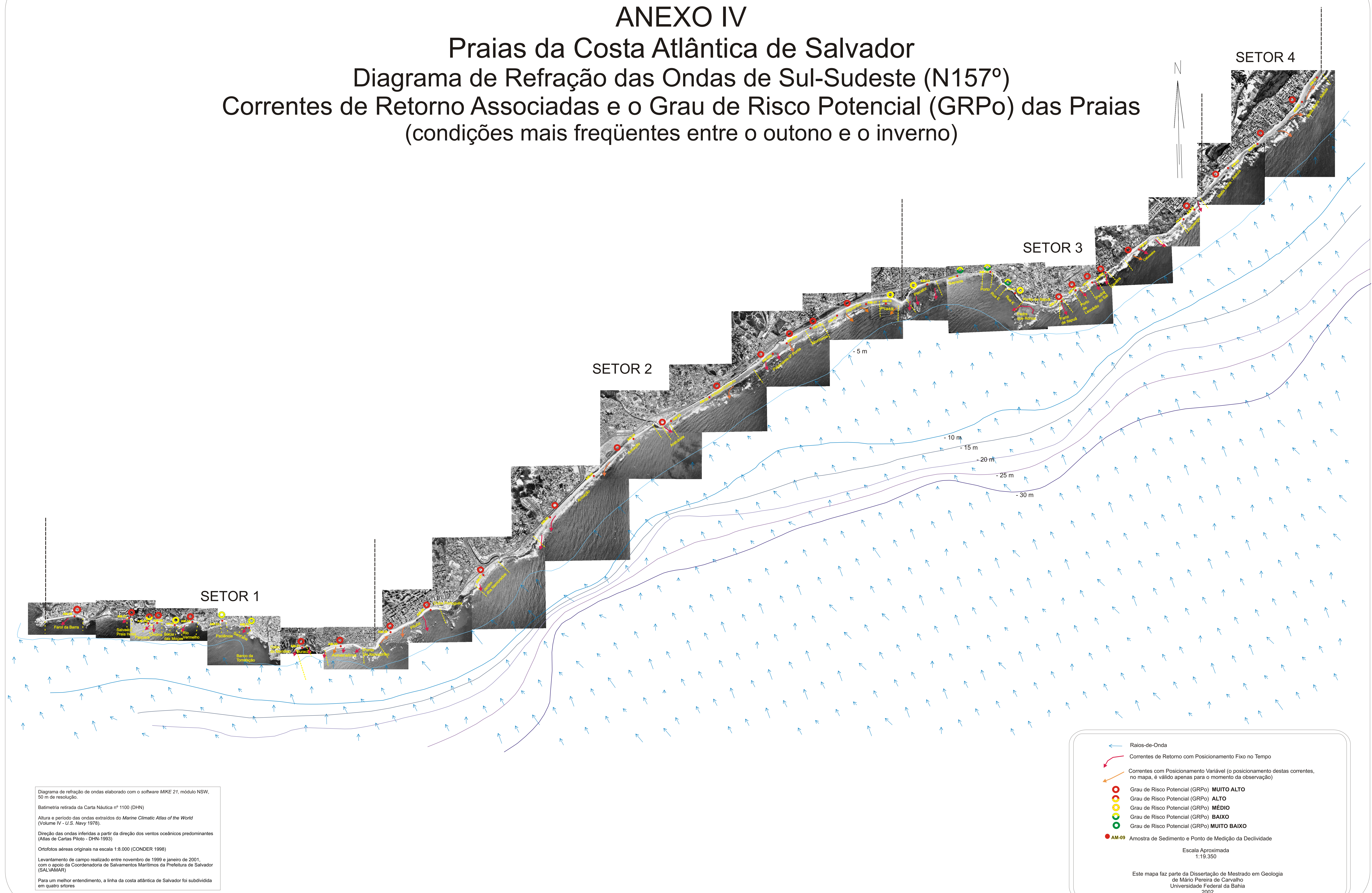


Diagrama de refração de ondas elaborado com o software MIKE 21, módulo NSW, 50 m de resolução.

Batimetria retrada da Carta Náutica nº 1100 (DHN)

Altura e período das ondas extraídos do *Marine Climatic Atlas of the World* (Volume IV - U.S. Navy 1978).

Direção das ondas inferidas a partir da direção dos ventos oceânicos predominantes (Atlas de Cartas Piloto - DHN-1993)

Ortofotos aéreas originais na escala 1:8.000 (CONDER 1998)

Levantamento de campo realizado entre novembro de 1999 e janeiro de 2001, com o apoio da Coordenadoria de Salvamentos Marítimos da Prefeitura de Salvador (SALVAMAR)

Para um melhor entendimento, a linha da costa atlântica de Salvador foi subdividida em quatro setores

→ Raios-de-Onda
→ Correntes de Retorno com Posicionamento Fixo no Tempo
→ Correntes com Posicionamento Variável (o posicionamento destas correntes, no mapa, é válido apenas para o momento da observação)

● Grau de Risco Potencial (GRPo) **MUITO ALTO**
● Grau de Risco Potencial (GRPo) **ALTO**
● Grau de Risco Potencial (GRPo) **MÉDIO**
● Grau de Risco Potencial (GRPo) **BAIXO**
● AM-09 Amostra de Sedimento e Ponto de Medição da Declividade

Escala Aproximada
1:19.350

Este mapa faz parte da Dissertação de Mestrado em Geologia de Mário Pereira de Carvalho, Universidade Federal da Bahia, 2002